

Abb. 5.6: Schematische Darstellung einer γ - γ -Kaskade mit Übergangsamplituden. \vec{k}_i und σ_i bezeichnen Emissionsrichtung und Polarisation des γ -Quants i ($i = 1, 2$)

Általános elmélet: koherens összeg:

$$W(M_i \rightarrow M_f) \sim \left| \sum_M \langle I_f M_f | k_2 \sigma_2 | \hat{\delta}_2 | IM \rangle \langle IM | k_1 \sigma_1 | \hat{\delta}_1 | I_i M_i \rangle \right|^2$$

↑ polarizáció
{ } $\langle M_f | \hat{\delta}_2 | IM \rangle$ } $\langle IM | \hat{\delta}_1 | M_i \rangle$

Ha a külső perturbációk energiája sokkal kisebb, mint a hőmérséklet (általában teljesül), akkor az M_i alniukok egyenletesen vannak betöltve. Ilyenkor:

$$W(k_1, k_2) \sim \sum_{\substack{M: M_f \\ \sigma_1, \sigma_2}} \left| \sum_M \langle M_f | \hat{\delta}_2 | IM \rangle \langle IM | \hat{\delta}_1 | M_i \rangle \right|^2$$



$$W(k_1, k_2) = W(\theta) = \sum_{k=0,2,4,\dots}^{k_{\max}} A_{k1}(1) A_{k2}(2) P_k(\cos \theta)$$

$$k_{\max} = \min(2I, l_1 + l'_1, l_2 + l'_2)$$

↑ ↑ 1. 2.
Csak az átmenettől függ
az 1. és a 2. átmenet multipolaritásai (kevert!)

Legáltalányosabb eset: $|IM\rangle$ orientációja nem feltétlenül a megelőző átmenet megfigyeléséből származik (pl. magorientáció, magreakció, Coulomb-gerjesztés):

$$W(\theta) = \sum_{k=0,2,\dots}^{k_{\max}} Q_k(I) A_{k2}(2) P_k(\cos \theta)$$

A perturbált σ - τ görükorrreláció elmélete

Az $|IM\rangle$ közbenső állapot életkarta: γ_n

A hiperfinom kölcsönhatás következményei:

- $|IM'\rangle$ és $|IM''\rangle$ egymással keverednek
- $|IM\rangle$ fázisa eltolódik.

A közbenső állapot időbeli változása:

$$|IM_a\rangle|_t = \underbrace{\hat{A}(t)}_{= e^{-\frac{i}{\hbar} \hat{H}_{hf} t}} |IM_a\rangle|_0$$

időfejlesztő operátor

$$W(k_1, k_2, t) = \sum_{\substack{M_i M_f \\ \sigma_1 \sigma_2}} \left| \sum_{M_a} \langle M_f | \hat{H}_2 \hat{A}(t) | M_a \rangle \langle M_a | \hat{H}_1 | M_i \rangle \right|^2 =$$

$\sum_{M_b} |M_b\rangle \langle M_b|$

$$= \sum_{\substack{M_i M_f \\ \sigma_1 \sigma_2}} \sum_{\substack{M_a M_b \\ M_b M_i}} \langle M_f | \hat{H}_2 | M_b \rangle \langle M_b | \hat{A}(t) | M_a \rangle \langle M_a | \hat{H}_1 | M_i \rangle$$

• $\langle M_f | \hat{H}_2 | M_b \rangle^* \langle M_b | \hat{A}(t) | M_a \rangle^* \langle M_a | \hat{H}_1 | M_i \rangle^*$



$$W(k_1, k_2, t) = \sum_{\substack{k_1, k_2 \\ N_1, N_2}} \frac{1}{\sqrt{(2k_1+1)(2k_2+1)}} G_{k_1 k_2}^{N_1 N_2}(t)$$

↑
perturbációs tényező

$$\cdot A_{k_1}(1) A_{k_2}(2) Y_{k_1}^{N_1^*}(\theta_1, \phi_1) Y_{k_2}^{N_2}(\theta_2, \phi_2)$$

A hiperfinom kölcsönhatást a perturbációs tényező tartalmazza:

$$G_{k_1 k_2}^{N_1 N_2}(t) = \sum_{M_a, M_b} (-1)^{2I + M_a + M_b} \sqrt{(2k_1+1)(2k_2+1)} \cdot$$

$$\cdot \begin{pmatrix} I & I & k_1 \\ M'_a - M_a & N_1 \end{pmatrix} \begin{pmatrix} I & I & k_2 \\ M'_b - M_b & N_2 \end{pmatrix} \langle M_b | \hat{\Lambda}(t) | M_a \rangle \langle M'_b | \hat{\Lambda}(t) | M'_a \rangle^*$$

↑
hyperfinom kölcsönhatás

$$k_i = 0, 2, 4, \dots, \min(2I, l_i + l'_i) \quad (i=1, 2)$$

$$|N_i| \leq k_i$$

A perturbációs tényező kiszámítása speciális esetekre

Feltevés: a kölcsönhatás • statikus • $\gamma_r \gg \frac{\hbar}{\Delta E_{hf}}$

$$\bullet \gamma_r \ll \frac{\hbar}{\Delta E_{hf}}$$

• axiál szimmetrikus, II z

$$\hat{H}_{hf} |M_a\rangle = E(M_a) |M_a\rangle$$

$$\begin{aligned} \langle M_b | \hat{\Lambda}(t) | M_a \rangle &= \langle M_b | e^{-\frac{i}{\hbar} \hat{H}_{hf} t} | M_a \rangle = \\ &= e^{-\frac{i}{\hbar} E(M_a) t} \delta_{M_a M_b} \end{aligned}$$

$M_a = M_b$
$M'_a = M'_b$
↓
$N_1 = N_2$

$$G_{k_1 k_2}^{NN}(t) = \sum_M \sqrt{(2k_1+1)(2k_2+1)} \begin{pmatrix} I & I & k_1 \\ M' & -M & N \end{pmatrix} \begin{pmatrix} I & I & k_2 \\ M' & -M & N \end{pmatrix} \cdot e^{-\frac{i}{\hbar} [E(M) - E(M')] t}$$

Mágneses dipólus-kölcsonhatás külső térben

$$E(M) - E(M') = -(M-M') g \mu_N B_z$$

$\underbrace{= N}$, különben $\begin{pmatrix} I & I & k_i \\ M' & -M & N \end{pmatrix} = 0$

$$G_{k_1 k_2}^{NN}(t) = \sqrt{(2k_1+1)(2k_2+1)} e^{-iN\omega_L t}.$$

$$\omega_L = \frac{g \mu_N B_z}{\hbar}$$

$$\cdot \underbrace{\sum_N \begin{pmatrix} I & I & k_1 \\ M' & -M & N \end{pmatrix} \begin{pmatrix} I & I & k_2 \\ M' & -M & N \end{pmatrix}}_{\frac{1}{\sqrt{(2k_1+1)(2k_2+1)}}} = e^{-iN\omega_L t} \delta_{k_1 k_2}$$

$$W(k_1, k_2, t) = \sum_{\substack{k_1 k_2 \\ N_1 N_2}} A_{k_1}(1) A_{k_2}(2) e^{-iN_1 \omega_L t} \delta_{N_1 N_2} \delta_{k_1 k_2}.$$

$$|N| \leq k$$

$$k \leq 2I$$

$$k \leq l_1 + l_2$$

$$k \leq l_2 + l_1$$

$$\cdot \frac{1}{\sqrt{(2k_1+1)(2k_2+1)}} Y_{k_1}^{N_1*}(\theta_1, \phi_1) Y_{k_2}^{N_2}(\theta_2, \phi_2) =$$

$$= \sum_{k, N} \frac{1}{2k+1} A_k(1) A_k(2) Y_{l_1}^N(\theta_1, \phi_1) Y_{l_2}^N(\theta_2, \phi_2) e^{-iN\omega_L t}$$

Speciális eset: $\underline{B} \perp$ a detektor-síkra ($\theta_1 = \theta_2 = 90^\circ$; $\Theta = \phi_1 - \phi_2$)

Az időfüggő szögkorreláció:

$$W_{\perp}(\theta, t, B_z) = \sum_{k=0, 2, \dots}^{k_{\max}} A_k(1) A_k(2) P_k[\cos(\theta - \omega_L t)]$$

A szögkorrelációs kép ω_L szögsebességgel forog.

Ekvivalens kifejezés:

$$W_{\perp}(\theta, t, B_z) = \sum_{k=0, 2, \dots}^{k_{\max}} b_k \cos k(\theta - \omega_L t)$$

$k_{\max} = 4$ esetén:

$$b_0 = \frac{1}{4} A_{22} + \frac{9}{64} A_{44} \quad A_{kk} := A_k(1) A_k(2)$$

$$b_2 = \frac{3}{4} A_{22} + \frac{5}{16} A_{44}$$

$$b_4 = \frac{35}{64} A_{44}$$

$k_{\max} = 2$ (pl. csak dipolus-átmenetek) és $\theta = 180^\circ$ esetén:

$$W_{\perp}(180^\circ, t, B_z) = b_0 + b_2 \cos 2\omega_L t$$



A koincidenciák számának időbeli modulációja, a kétszeres Larmor-frekvencia.

Elektromos kvadrupolus-kölcsonhatás ($\eta=0$)

$$E_Q(M) - E_Q(M') = 3\hbar \omega_Q \underbrace{|M^2 - M'^2|}_{= (M+M')(M-M')}$$

\downarrow
mindig egész

(feles M, M' -re: páros)

$$\omega_Q = \frac{e Q V_{zz}}{4 I (2I-1) \hbar}$$

$$G_{k_1 k_2}^{NN}(t) = \sqrt{(2k_1+1)(2k_2+1)} \cdot$$

$$\cdot \sum_M \begin{pmatrix} I & I & k_1 \\ M' & -M & N \end{pmatrix} \begin{pmatrix} I & I & k_2 \\ M' & -M & N \end{pmatrix} e^{-3i|M^2 - M'^2|\omega_Q t} = \dots$$

$$\dots = \sum_{n=1}^{n_{\max}} S_{nN}^{k_1 k_2} \cos n \omega_Q t$$

ahol

$$\omega_0 = 3\omega_Q \quad \text{és} \quad n = |M^2 - M'^2|, \text{ ha } I \text{ egész}$$

$$\omega_0 = 6\omega_Q \quad \text{és} \quad n = \frac{1}{2}|M^2 - M'^2|, \text{ ha } I \text{ feles}$$

$$S_{nN}^{k_1 k_2} = \sum_{M, M'} \sqrt{(2k_1+1)(2k_2+1)} \begin{pmatrix} I & I & k_1 \\ M' & -M & N \end{pmatrix} \begin{pmatrix} I & I & k_2 \\ M' & -M & N \end{pmatrix}$$

\uparrow összegzés a fenti mellékfeltételekkel

$W(k_1, k_2, t)$ -ben az $\omega_0, 2\omega_0, \dots, n_{\max}\omega_0$ frekvenciák lépnek fel.

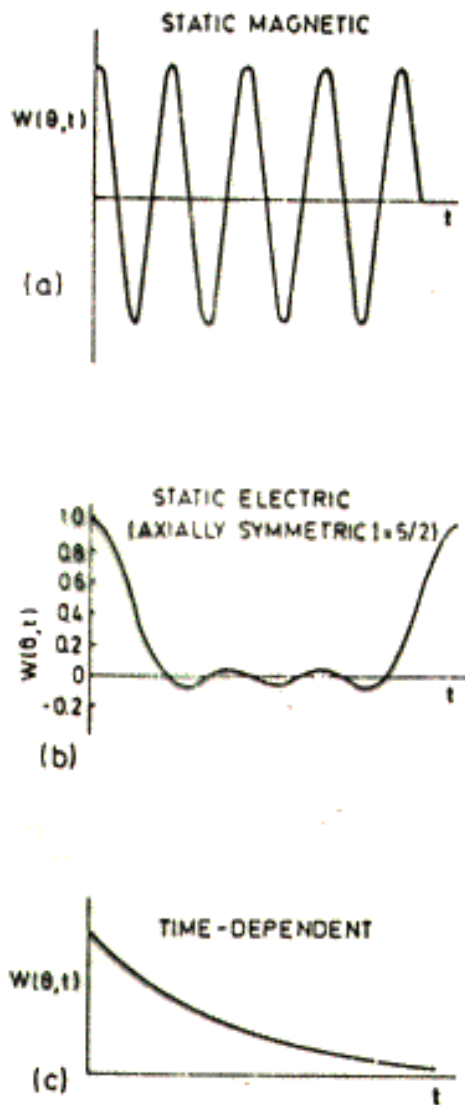


FIG. 3. The time-differential angular correlation $W(\theta, t)$ for various pure interactions (the exponential decay $e^{-t/\tau}$ of the nuclear state has been divided out): (a) static magnetic $P_1(\cos(\theta - \omega_q t))$; (b) static quadrupole for nuclear spin $l = 5/2$. $\sum_n s_n \cos n\omega_q t$; (c) time-dependent $e^{-\lambda_k t}$ [25]: $\lambda_k = \frac{1}{2}k(k+1) \omega_{in}^2 \tau_c^2$ for magnetic time dependence; $\lambda_k = \frac{1}{2}k(k+1)[4l(l+1) - k(k+1) - 1] \omega_e^2 \tau_c^2$ for electric time dependence, where τ_c is the relaxation time and ω_q is the quadrupole frequency (see relationship between ω_e and ω_q in Eq.(15)).

Polikristályos minta:

Az ETG tengelyinek irányára átlagolni kell.

W nem függ k_1 és k_2 irányától, csak a közrezárt θ mögtől:

$$W(\theta, t) = \sum_{k=párás}^{k_{\max}} A_{kk} \underbrace{G_{kk}(t)}_{\text{fázisfunkció}} P_k(\cos \theta)$$

$$G_{kk}(t) = \sum_{n=0}^{n_{\max}} S_{kn} \cos n \omega t$$

\downarrow

$$S_{kn} = \sum_{M, M'} \left(\frac{I}{M} \frac{I}{M'} \frac{k}{M-M'} \right)^2$$

$I = 5/2$ esetén:

$$S_{20} = 0.2$$

$$S_{21} = 0.371$$

$$S_{22} = 0.286$$

$$S_{23} = 0.143$$

„Önmagában” forgó szöghorreláció \Rightarrow „kemény mag”-anizotrópia (időben állandó).

A szöghorrelációs kép szimmetriatengelyire merőleges tengely körül forgó komponens \Rightarrow időfüggés.

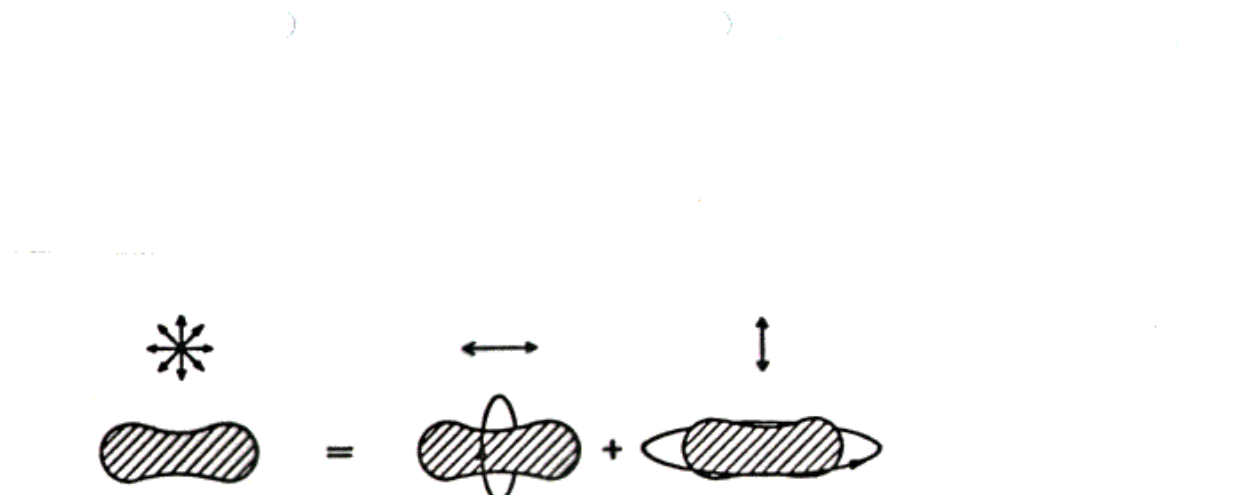


Abb. 5.8: Drehung der Winkelkorrelation um verschiedene Orientierungen des elektrischen Feldgradienten (Pfeile). Rechts: Zerlegung in einen zeitlich konstanten Anteil (Drehung in sich selbst) und einen zeitlich veränderlichen Anteil (Drehung um eine Achse senkrecht zur Symmetrieachse der Winkelkorrelation)

PAC - források

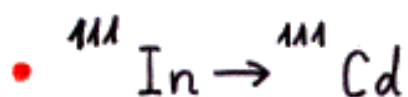
Elöfeltételek: • megfelelő életstílusú izomról állapot

$$(\gamma_N \sim 10^{-8} \text{ s} \dots 10^{-5} \text{ s})$$

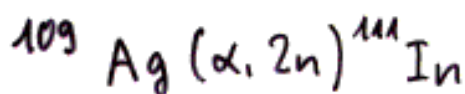
probléma: időfelbontás véletlen koincidenciák

- az izomér állapotnak megfelelő mennyiségű
tékkekkel kell rendelkeznie ($Q \gtrsim 0.1$ barn;
 $\mu \gtrsim 1 \mu_N$)
 - az izomér állapoton keresztül vezető
 γ - γ -kaszkaid létezése
 - megfelelő anyagtöltőp létezése
 - előállítási lehetőségek (reaktor, ciklotron stb.)
 - élettartam
 - radioķemiai tulajdonságok

A legfontosabb PAC-források



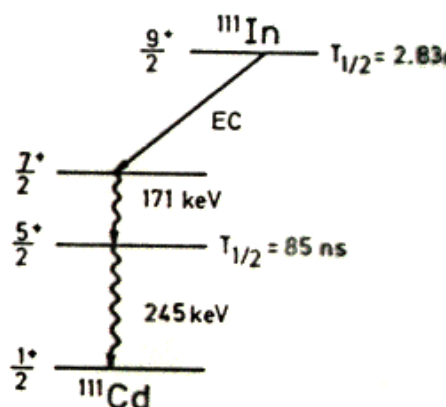
Elöállítás: $^{110}\text{Cd}(\text{d},\text{n})^{111}\text{In}$ vagy



Az ^{111}In kémiai úton leválasztható; hordozómentes

$^{111}\text{InCl}_3$ -oldat formájában kapható.

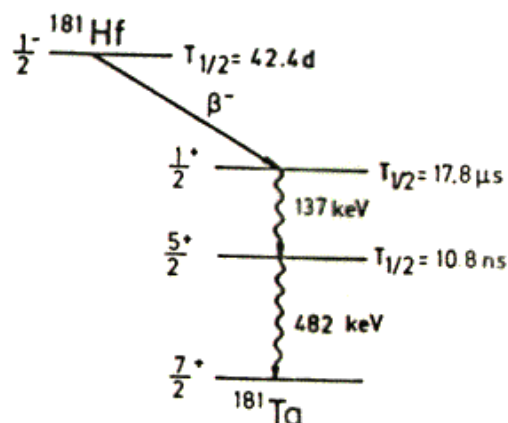
Mintakészítés: diffúzióval vagy implantációval



$$\begin{aligned}
 \mu(5/2^+) &= -0,7656(25) \mu_N \\
 Q(5/2^+) &= +0,83(13) \text{ b} \\
 A_{22} &= -0,18 \\
 A_{44} &= 0,002 \\
 A_{24} &= -0,204 \\
 A_{42} &= -0,001
 \end{aligned}$$

Abb. 5.9: Zerfallsschema von ^{111}In . Auf der rechten Seite sind die Kernmomente des Zwischen niveaus (LED 78, VIA 83) und die Anisotropiekoeffizienten der γ - γ -Kaskade (RAM 71, STE 56) angegeben

$^{181}\text{Hf} - ^{181}\text{Ta}$



$$\begin{aligned}
 \mu(5/2^+) &= + 3,24(5) \mu_N \\
 Q(5/2^+) &= + 2,36(5) b \\
 A_{22} &= - 0,288 \\
 A_{44} &= - 0,076 \\
 A_{24} &= - 0,062 \\
 A_{42} &= - 0,318
 \end{aligned}$$

Abb. 5.10: Zerfallsschema von ^{181}Hf . Auf der rechten Seite sind die Kernmomente des Zwischenniveaus (LED 78, BUT 83) und die Anisotropiekoeffizienten der γ - γ -Kaskade (ELL 73) angegeben

$^{100}\text{Pd} - ^{100}\text{Rh}$

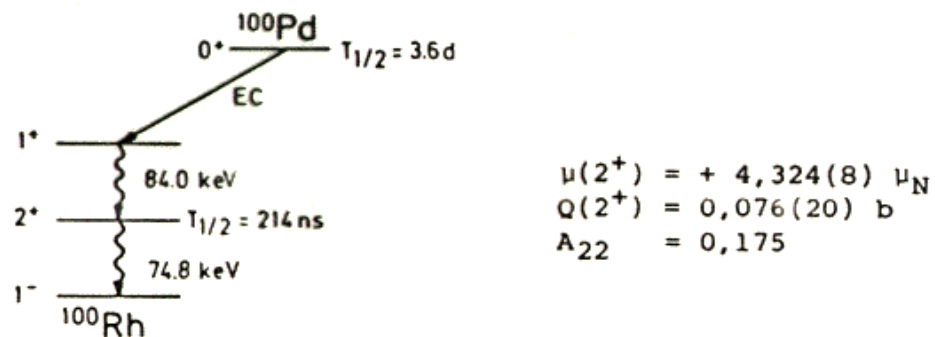
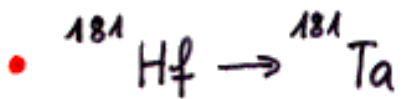


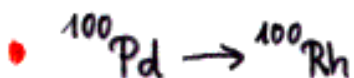
Abb. 5.11: Zerfallsschema von ^{100}Pd . Auf der rechten Seite sind die Kernmomente des Zwischenniveaus (LED 78, VIA 83) und die Anisotropiekoeffizienten der γ - γ -Kaskade (KOC 74) angegeben



Elöállítás: $^{180}\text{Hf}(n,\gamma)^{181}\text{Hf}$ ($\sigma = 14 \text{ barn}$)

A leválasztás csak izotópszeparációval lehetséges.

Megoldás: hosszú ($\sim 1 \text{ hónapos}$) besugárzás nagy neutron-fluxusban. Mintaelőállítás: olvasztás ultra-nagy vákuumban ($p \lesssim 10^{-4} \text{ Pa}$) a Hf nagy O₂-affinitása miatt.



Elöállítás: pl.: $^{103}\text{Rh}(d, 5n)^{100}\text{Pd}$ ($E_d \geq 50 \text{ MeV}$)

A kémiai leválasztás nehézkes. Ezért a mintakat gyakran ion-implantációval állítják elő.

- Hátrányok:
- γ_1 és γ_2 NaI-scintillátorral nem választhatók szét egymástól (az idöspektrum $t=0$ -ra szimmetrikus).
 - $I=2$ (egész). Ezért a spektrum $\eta \neq 0$ esetén bonyolult.

Mérőberendezés

Cél: a $G(t)$ perturbációs tényező meghatározása

TDPAC: time differential perturbed angular correlation - idő-differenciális perturbált γ - γ mögkorreláció.

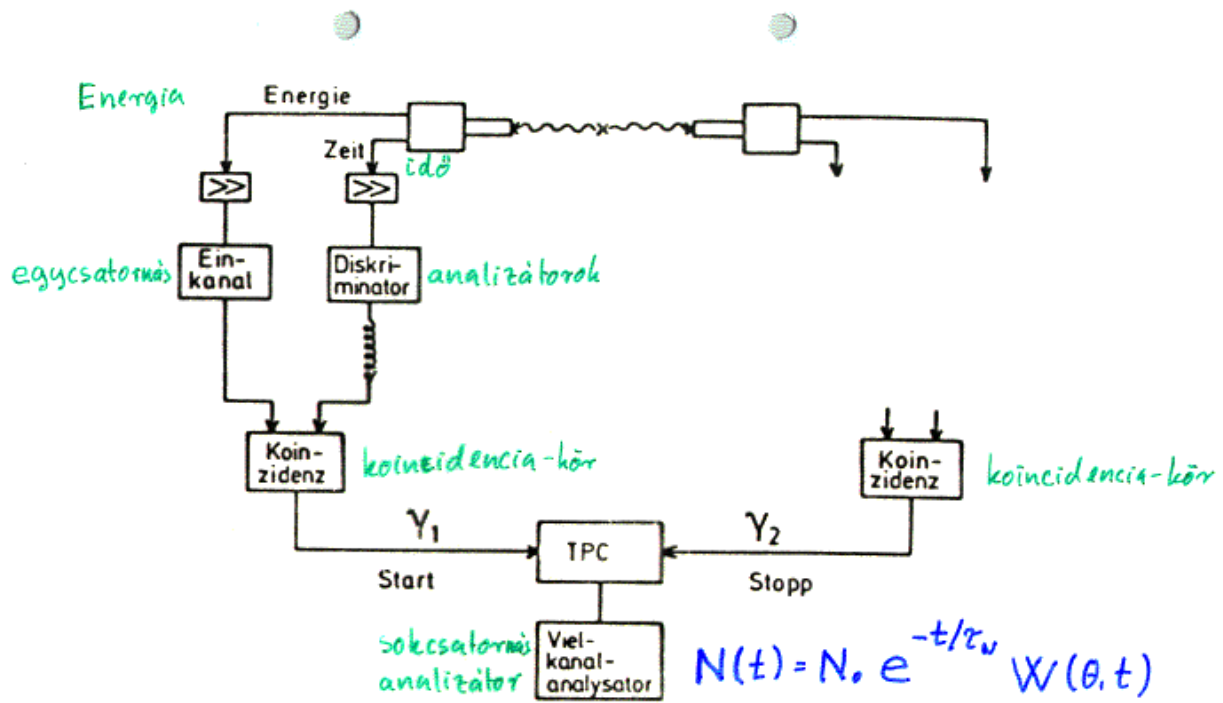


Abb. 5.12: Experimentelle Anordnung für eine zeitlich differentielle Winkelkorrelationsmessung. Im Vielkanalanalysator erhält man ein Zählratenspektrum der Form $N(t) = N_0 \exp(-t/\tau_N) W(\theta, t)$, wobei τ_N die Lebensdauer des Zwischenlevels und $W(\theta, t)$ die zeitabhängige Winkelkorrelation beschreibt

Miért mennyiségek: a koincidenciák száma, mint a τ_i és τ_j között eltelt idő függvénye. Ezért pontos időmérésre van szükség.

A γ -kvantum idejét és energiáját ugyanazzal az egyszerűsített diszkriminatorral nem lehet elegendő pontossággal mérni. Megoldás: gyors-lassú koincidenciakör.

A forrás-aktivitás korlátja

Az időegység alatt regisztrált beütésszám (i -ik detektor):

$$N_i = \frac{1}{4\pi} \varepsilon_i \Omega_i N$$

↑ ↑ ↑
 térszög aktivitás
 megszólalási valószínűség

Az i -ik és a j -ik detektorok között időegység alatt mérte koincidenciák száma:

$$N_{ij} = \frac{1}{4\pi} N_i \varepsilon_j \Omega_j = \frac{1}{(4\pi)^2} \varepsilon_i \varepsilon_j \Omega_i \Omega_j N$$

arányos N -nel

Az időegység alatt regisztrált véletlen koincidenciák száma:

$$N_{ij}(\text{véletlen}) = N_i N_j \tau = \frac{1}{(4\pi)^2} \varepsilon_i \varepsilon_j \Omega_i \Omega_j N^2 \tau$$

↑
 az idő-amplitudó-kon-
 verter (TPC) idő-tar-
 tomdanya ($\approx \tau_N$)

arányos N^2 -tel

$$\frac{N_{ij}}{N_{ij}(\text{véletlen})} = \frac{1}{N \tau_N}$$

A valódi és a véletlen koincidenciák aránya nem függ sem a detektorok térszögétől, sem megszólalási valószínűségeiktől.

Ha legalább annyi valódi, mint véletlen koincidenciát akarunk mérni, akkor a forrás aktivitása legfeljebb

$$N_{\max} = \frac{1}{\tau_N}$$

lehet.

Pl. $\tau_N = 1 \mu s$ esetén $N_{\max} = 1 \text{ MBc} (\approx 27 \mu \text{Ci})$.

$$N_{ij}(\theta, t) = N_0 e^{-t/\tau_N} W(\theta, t) + B$$

↑
háttér
(véletlen koincidenciák)

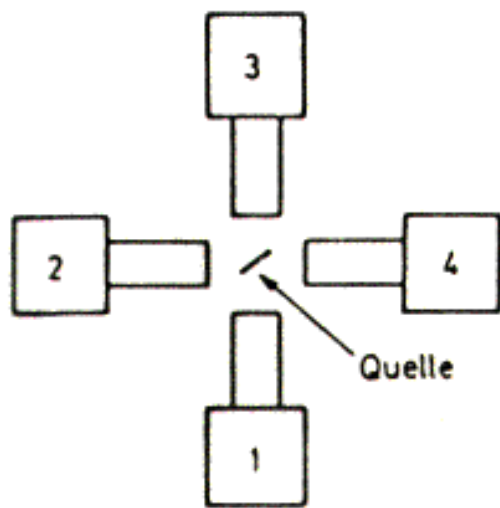


Abb. 5.13:
Geometrische Anordnung der
Detektoren für die Vier-
Detektor-Apparatur bei der
PAC-Methode

Axiális szimmetrikus, véletlenszerűen orientált ETG:

$$W(\theta, t) = 1 + A_{22} G_{22}(t) P_2(\cos \theta) + \underbrace{\dots}_{\text{általában elhanyagolható}}$$

$$W(90^\circ, t) = 1 - \frac{1}{2} A_{22} G_{22}(t)$$

$$W(180^\circ, t) = 1 + A_{22} G_{22}(t) \Rightarrow A_{22} G_{22}(t) = \underbrace{W(180^\circ, t) - 1}_{\text{EISZi-től függ!}}$$

$$\begin{aligned} R(t) &:= 2 \frac{W(180^\circ, t) - W(90^\circ, t)}{W(180^\circ, t) + 2W(90^\circ, t)} = \\ &= 2 \frac{1 + A_{22} G_{22}(t) - 1 + \frac{1}{2} A_{22} G_{22}(t)}{1 + A_{22} G_{22}(t) + 2 - A_{22} G_{22}(t)} = A_{22} G_{22}(t) \end{aligned}$$

Az összes mérő koincidenciából:

$$R(t) = A_{22} G_{22}(t) = 2 \frac{\sqrt[4]{N_{13} N_{31} N_{24} N_{42}} - \sqrt[4]{N_{14} N_{41} N_{23} N_{32}}}{\sqrt[4]{N_{13} N_{31} N_{24} N_{42}} + 2 \sqrt[4]{N_{14} N_{41} N_{23} N_{32}}}$$

nem függ sem Ei-től, sem Szi-től

Egyszerűbb közelítő kifejezés:

$$R(t) = \frac{2}{3} \left(\sqrt{\frac{N_{13} N_{24}}{N_{14} N_{23}}} - 1 \right)$$